

## 貯水池における浮遊砂の挙動について

京都大学防災研究所 正員 芦田 初男  
京都大学防災研究所 正員 道上 正規

1. まえがき 貯水池の堆砂量を算定するには、上流部からの流出土砂量、輸送形態の相異による堆砂形状の差異および $\tau_{app}$  efficiency を明らかにしなければならぬ。本報告は、上流部から浮遊形式で輸送される土砂が、貯水池における摩擦速度の減少に伴って、輸送形態を変化せながらどのように堆砂するかを実験的に検討し、若干の考察を試みようとしたものである。

2. 実験概要 実験は水路幅1m、長さ40m、河床ヒク配1/100の長方形断面のモルタル仕上げ水路で、下流端に設けられた可動堰を河床から30cmの高さに固定して行なわれた。流量を25l/sと定め、流砂が存在しない場合の流速分布をプロペラ式流速計で測定し、ついで給砂器でExp. 1では $d_{50}=0.166\text{ mm}$ の砂を1.3kg/min., Exp. 2では $d_{50}=0.039\text{ mm}$ の砂を1.2kg/min. 上流端から給砂して、そのときの濃度分布および堆砂形状などを測定した。また、水流の鉛直方向の拡散係数の測定は、連続注入によって染料の拡がりを写真撮影による方法と流速分布の測定から決定された方法によつて行なわれた。

3. 堆砂形状 上流部から浮遊形式で輸送される土砂は、その粒度特性と貯水池中の摩擦速度の距離的変化との関連によって、貯水池中では掻流および浮遊形式の異なる輸送形態を呈する。従来の限界掻流力理論と砂粒の浮遊限界( $u_* / u_{*c} \approx 1$ )との関係を検討するとつづくことがわかる。すなわち、粒径が約0.1mmより大きい砂礫の場合には、浮遊限界の摩擦速度 $u_{*cs}$ は掻流限界のそれ $u_{*cb}$ よりも大きくなるので、浮遊形式の輸送が摩擦速度の減少によって保持できなくなり状態でも掻流形式の輸送は可能であり、この輸送量の距離方向のアンバランスによってデルタ状の堆砂形状が形成される。一方、 $d < 0.1\text{ mm}$ の範囲では、 $u_{*cs} < u_{*cb}$ の状態になるので、このような土砂(シルトあるいは粘土)では浮遊形式の輸送が主体である、すなわち堆砂形状も河床にはほぼ平行な形状を呈する。いま、これらの関係を模式的に示したもののが図-1であり、Exp. 1では①の堆砂形状を、Exp. 2では②の堆砂形状を呈した。また、現地の黒部ダムや有田川の二川ダムの堆砂形状と粒度特性を調査した結果によても、上記のよう粒径によって堆砂形状が相異していることが明らかにされた。したがって、上流部からの流出土砂量とその粒度特性が把握されたならば、貯水池における摩擦速度の減少を図-1のように表わすことによって、それがどの運動形態に基づいて河床運動の解析領域を明らかにすることができる。①の領域の解析は従来多く行われており、その成果に基づいて解析することができるとともに、デルタ

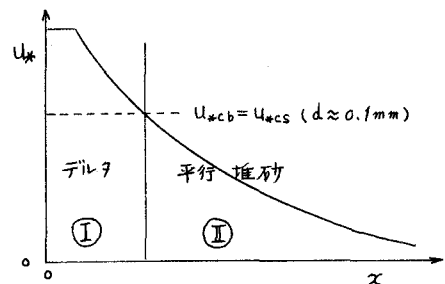


図-1 貯水池の堆砂形状の模式図

の運動形態に基づいて河床運動の解析領域を明らかにすることができる。①の領域の解析は従来多く行われており、その成果に基づいて解析することができるとともに、デルタ

移動構造がほぼ明らかにされはじめて、デルタの先端にあたりて図-2の領域、境界条件を与えようとしている。

4. 湍遊形式の堆砂 湍遊形式で輸送される流砂の濃度に対するは、一般に次式で示すような拡散式が適用できる。  

$$U \frac{\partial C}{\partial x} = \frac{\partial}{\partial z} (\varepsilon_x \frac{\partial C}{\partial z}) + w_0 \frac{\partial C}{\partial z} \quad (1)$$

ここに、記号は慣用されてるものと使用してある。(1)式を計算するにあたりて、まず決定しなければならない参数は拡散係数と境界条件である。

a)拡散係数 貯水池の流速分布を測定した結果が図-2に示されているが、図中のNO.の値は下流端からの距離(m)を示している。この流速分布とレイノルズ応力の直線分布の仮定から決定された二方向の渦動粘性係数の平均値と、流速分布とて対数則を用いて得られる値とはほぼ一致している。また、堀井の拡散式から決定された拡散係数は図-2を、上記の値とほぼ類似の値を示したので、ここでは、対数則を用いて貯水池における流れ方向の $\varepsilon_x$ の値を検討してみる。 $\varepsilon_x$ はレイルス相似から、

$$\varepsilon_x = \beta K U_* / (6h) \quad (2)$$

のようになる。ここに、 $\beta$ :比例定数である。マニングの抵抗則を用いて、(2)式を書きかえると、

$$\varepsilon_x = (\beta K \sqrt{g} n_8 / 6) \cdot h^{-1/6} \quad (3)$$

のようになり、単位幅、流量 $q$ およびマニングの粗度係数 $n$ が一定であれば、 $\varepsilon_x$ は流れ方向にはほとんど変化しないことが理解される。

b)境界条件 合田によつて提案された境界条件が適用でき、貯水池にあたりては、

$$x=0; C=C_0 \exp \left( -\frac{w_0}{\varepsilon_x} z \right) \quad (4)$$

$$z=0; \varepsilon_x \frac{\partial C}{\partial z}=0, z=h; \varepsilon_x \frac{\partial C}{\partial z}+w_0 C=0$$

の成立が従来の実験でも見出されており、本実験においても確認された。湍遊形式が主体のExp.2に対して、(3)式で $\beta=1$ として、(1), (3)および(4)式から濃度を求め、これを河床運動式に適用して堆砂形状を計算したものである。これらの図は、湍遊形式の輸送が主体になつてゐる場合には、(1)式にあたりて拡散係数を一定として取扱つて、貯水池の堆砂をほぼ算定することができるこことを示してあると言えよう。最後に、実験および資料整理に協力してくれた東京大工子部学生津田政憲君に感謝の意を表す。参考文献 1)合田：上水淨化における水理学上の基礎的諸問題、学位論文、昭31。

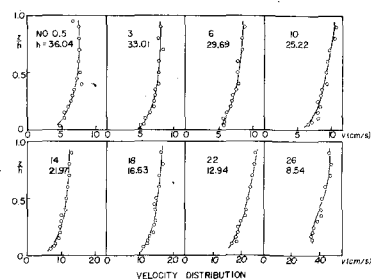


図-2 貯水池の流速分布

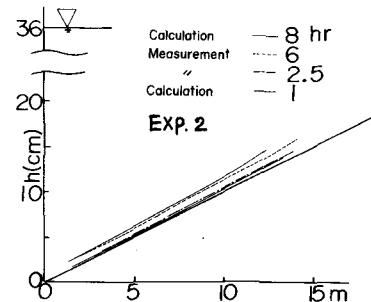


図-3 貯水池堆砂の計算値  
と実験値の比較

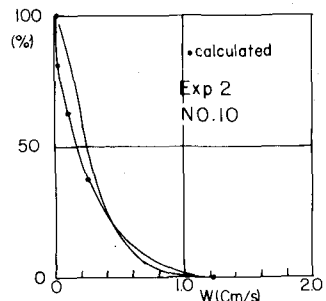


図-4 堆砂の濃度分布の計算値と実験値の比較